

В.М. Асаула, Т.А. Мирна, Г.Г. Яремчук

ОСОБЛИВОСТІ СИНТЕЗУ НАНОЧАСТИНОК CdS**У ЙОННИХ РІДКОКРИСТАЛІЧНИХ РОЗПЛАВАХ НА ОСНОВІ АЛКАНОАТІВ КАДМІЮ**

Вивчено та оптимізовано умови синтезу наночастинок сульфіду кадмію в йонних рідкоクリсталічних матрицях алканоатів кадмію в залежності від довжини ланцюга алканоат-аніону, часу проведення реакції та способу введення сульфід-йонів у "нанореактор". Методом електронної спектроскопії оцінено розмір одержаних наночастинок сульфіду кадмію.

ВСТУП. В останні роки зусилля науковців спрямовані на отримання наноструктурованих непорівнаних і органічних матеріалів та дослідження їх властивостей. Як з наукової, так із технологічної точки зору, напівпровідникові кластери, стабілізовані в матриці, — це найбільш цікаві сучасні нанокомпозитні матеріали. Електронні, оптичні та провідні властивості нанокристалів напівпровідників сульфідів металів викликають особливий інтерес. Наночастинки такого роду можуть бути використані в нелінійній оптиці, люмінесценції, електроніці, каталізі, оптоелектроніці та в інших галузях [1—6].

Контрольований темплатний метод синтезу нанокристалів з вузьким розподілом розміру і однорідної форми є дуже важливим для отримання наноструктурованого напівпровідника [6]. Одним із перспективних темплатних методів є синтез із застосуванням рідкоクリсталічних матриць [3]. Використання рідкоクリсталічних матеріалів дозволяє одержувати наночастинки з бажаною геометричною формою, однорідні за розміром і стабільні в часі. В залежності від симетрії рідкоクリсталічної матриці можна отримувати гексагональні (нитчасті), ламелярні (плоскі) і кубічні (сферичні) наночастинки CdS [4]. Особливу увагу привертують йонні рідкі кристали як перспективні темплати для синтезу і стабілізації наночастинок.

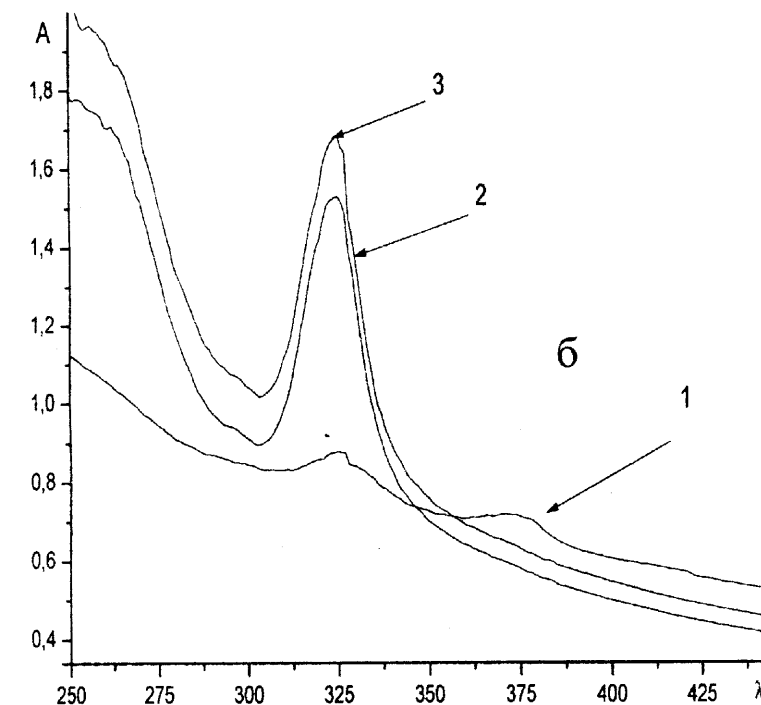
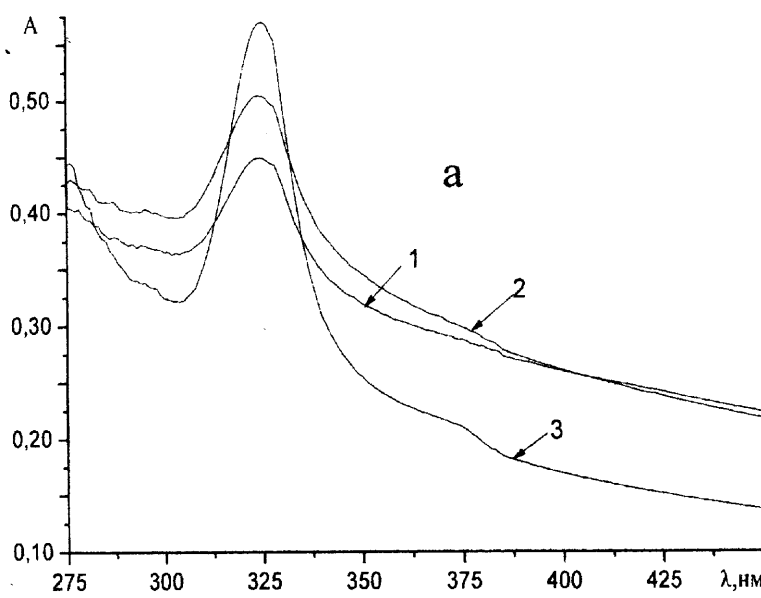
Рідкі кристали, або мезофази знаходять широке застосування як складові нових матеріалів для запису, збереження та відображення інформації. Йонні мезофази перспективні як середовища для запису динамічних голограм, модулювання та підсилення лазерного випромінювання. Цікавим може бути поєднання властивостей анізотропного йонного рідкоクリсталічного середовища та напівпровідниківих наночастинок.

Метою даної роботи є оптимізація умов син-

тезу наночастинок сульфіду кадмію в термотропних йонних рідкоクリсталічних матрицях на основі алканоатів у залежності від довжини ланцюга алканоат-аніону, часу проведення реакції та способу введення сульфід-йонів (тіосечовини), отримання ряду зразків сульфіду кадмію в йонних рідкоクリсталічних фазах алканоатів кадмію в ряду $Cd(C_nH_{2n+1}COO)_2$, де $n = 5,7,9,11,13,15,17$.

У роботі [7] нами було встановлено, що використання в якості "наноректора" алканоату кадмію з меншою довжиною аліфатичного ланцюга сприяє формуванню наночастинок сульфіду кадмію з меншими розмірами, зростання часу проведення реакції (від 0.5 до 3 год) та концентрації сульфід-йонів у "нанореакторі" (аж до 6 % мол.) не впливає на розмір наночастинок сульфіду кадмію, але приводить до збільшення їх концентрації в мезофазі.

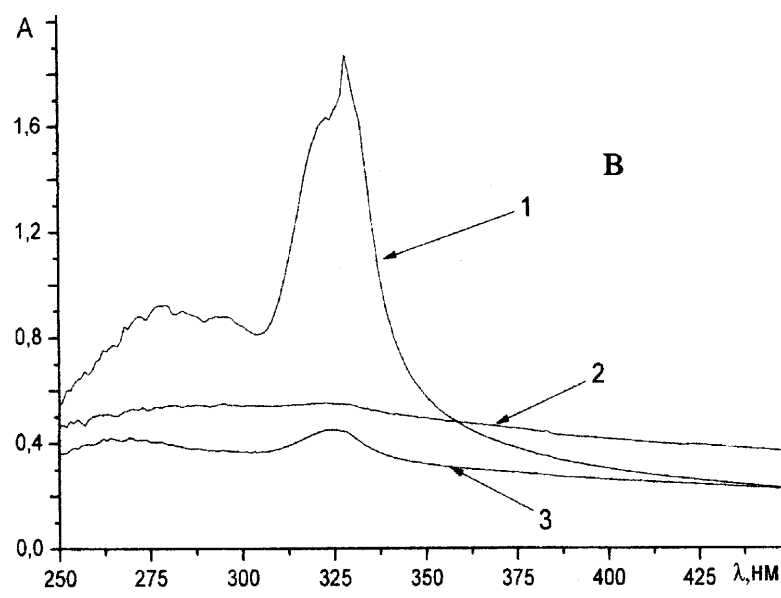
ЕКСПЕРИМЕНТАЛЬНА ЧАСТИНА ТА ОБГОВОРЕННЯ. Для оптимізації умов синтезу наночастинок сульфіду кадмію було вибрано рідкоクリсталічні матриці каприлату і капронату кадмію. В попередній роботі суміш готовили механічним перемішуванням вихідних речовин алканоату кадмію та тіосечовини, а потім проводили реакцію в розплаві (140°C) протягом різних проміжків часу. В даній роботі з метою отримання рівномірного розподілу сульфід-йона в рідкоクリсталічній матриці вихідну кількість тіосечовини розчиняли в метиловому спирті чи бідистилляті і вводили різними способами в термотропну рідкоクリсталічну матрицю. Синтез проводили шляхом взаємодії розплавленої мезофази алканоату кадмію та тіосечовини при температурі існування мезофази (100 — 130°C) в інертній атмосфері впродовж різного проміжку часу. Вміст тіосечовини складав 2 % мол. На основі розробленої методики отримано наночастинки в алканоатах із більшою



довжиною ланцюга. При охолодженні реакційної суміші спостерігалося утворення скла в коротко-ланцюгових алканоатах. Нанокомпозити, до складу яких входять наночастинки сульфіду кадмію, одержаних при різних умовах експерименту (варіювали розмір алканоат-аніону в "нанореакторі", час і середовище проведення реакції та способ введення сульфід-йонів (тіосечовини)), досліджували методом електронної спектроскопії.

Електронні спектри поглинання реєстрували на спектрофотометрі Perkin Elmer UV/VIS Lambda 35, обладнаним нагрівальною пічкою, використовуючи кварцеві кювети товщиною 30 мкм.

На рисунку подано оптичні спектри поглинання нанокомпозитів алканоатів кадмію зnano-



Зміна довжини хвилі поглинутого світла наночастинками CdS у рідкокристалічній матриці каприлату кадмію (вміст CdS — 2 % мол.) у залежності від часу експозиції (a), інертності середовища (б), способів введення тіосечовини в "нанореактор" (в). а: 1 — 10, 2 — 30, 3 — 60 хв; б: 1 — без потоку аргона, 2 — в потоці аргону (10 хв), 3 — в потоці аргону (30 хв); в: 1 — змочування, 2 — прикатування, 3 — вприскування в розплав.

частинками сульфіду кадмію в залежності від часу проведення реакції в мезофазі каприлату кадмію при 130 °C і від способу введення сульфід-йонів (тіосечовини) в мезофазу каприлату кадмію. Нижче наведені спектрально-оптичні характеристики наночастинок CdS (2 % мол.) в іонній термотропній рідкокристалічній матриці:

Матриця	λ , нм	Матриця	λ , нм
$Cd(C_5H_{11}COO)_2$	326	$Cd(C_{13}H_{27}COO)_2$	328
$Cd(C_7H_{15}COO)_2$	328	$Cd(C_{15}H_{31}COO)_2$	332
$Cd(C_9H_{19}COO)_2$	330	$Cd(C_{17}H_{35}COO)_2$	334
$Cd(C_{11}H_{23}COO)_2$	330		

Відомо, що в нанокристалах проявляється новий ефект — вплив розмірного квантування на міжзонне поглинання (конфайнмент-ефект) у випадку, коли радіус нанокристалів (r) менший боровського радіуса екситону (λ_B) [8]. В енергетично му спектрі напівпровідників частинок збільшується щілина між заповненою і вільною зонами, наприклад, ширина забороненої зони в CdS при зміні розміру кластера від окремих молекул до макроскопічного кристалу змінюється від 4.5 до 2.5 еВ. У проміжній області знаходяться так звані наночастинки, які мають розмір від 10 до 1 нм [9].

Енергію конфайнментних екситонних станів можна виразити рівнянням $E_n = E_{ex} + \hbar^2/2Mr^2$, де E_{ex} — енергія екситону в об'ємному макроскопічному кристалі; $M = m_e + m_h$ — трансляційна маса екситону. Залежність $E_n(r)$ підтверджено експериментально багато разів і на її основі можна оцінити радіуси нанокристалів із спектрів поглинання нанокомпозитів [8].

Метод електронної спектроскопії дозволяє оцінити розміри наночастинок CdS, використовуючи положення максимуму екситонного поглинання [10]. Для такої оцінки ми використали залежності енергії першого максимуму екситонного поглинання від розміру наночастинки CdS, що приведені в роботі [11].

Оптичні спектри поглинання нанокомпозитів рідкокристалічного скла на основі каприлату кадмію $Cd(C_7H_{15}COO)_2$ з наночастинками CdS у залежності від часу проведення реакції в "нанореакторі" зображені на рисунку, а. Спектри характеризуються смugoю екситонного поглинання із максимумом близько 328 нм, що дає підставу оцінити розмір наночастинок ($CdS \sim 1.9$ нм). Аналіз оптичного спектра поглинання показує, що оптимальним є час приблизно 30 хв, при більшому часі взаємодії ($t \geq 60$ хв) у "нанореакторі" починають утворюватися більш крупні частинки, про що свідчить поява смуги поглинання із максимумом близько 370 нм (крива 3).

На рисунку, б зображені оптичні спектри поглинання нанокомпозитів рідкокристалічного скла на основі каприлату кадмію $Cd(C_7H_{15}COO)_2$ з наночастинками CdS у залежності від середовища проведення реакції в "нанореакторі". Аналіз оптичного спектра поглинання показує, що в присутності аргону утворюються наночастинки одного розміру, про що свідчить гострий інтенсивний пік із максимумом поглинання близько 328 нм, що дає підставу оцінити розмір наночастинок CdS (~ 1.9 нм). Без перемішування аргоном у "нанореакторі" утворюються частинки різного розміру, про що свідчить наявність смуг поглинання із максимумами близько 328 і 370 нм (крива 1).

Оптичні спектри поглинання нанокомпозитів рідкокристалічного скла на основі каприлату кадмію $Cd(C_7H_{15}COO)_2$ з наночастинками CdS у залежності від способу введення сульфід-йонів (тіосечовини) в "нанореактор" зображені на рисунку, в.

У ході дослідження було випробувано такі способи введення тіосечовини як прикапування, вприскування в розплав та змочування вихідного поро-

шку каприлату кадмію. Аналіз оптичних спектрів поглинання показує, що найкращий розподіл сульфід-йонів отримано при способі змочування вихідного порошка. Максимум смуги поглинання в 328 нм спостерігається для всіх застосованих способів. Положення максимуму екситонного поглинання відповідає наночастинкам з розміром приблизно 1.9 нм.

Спектрально-оптичні характеристики наночастинок CdS в йонній термотропній рідкокристалічній матриці були наведені нами вище. Аналіз положення максимуму екситонного поглинання дозволив оцінити розмір "наночастинок" (~ 1.9 нм). Проведення синтезу в "нанореакторах" алканоатів кадмію з різною довжиною аліфатичного ланцюга показало, що використання алканоатів кадмію з меншою довжиною ланцюга (капронат і каприлат) сприяє формуванню наночастинок сульфіду кадмію з більш рівномірним розподілом за розміром (~ 1.9 нм) та за об'ємом "нанореактора".

ВИСНОВКИ. Таким чином, у даній роботі оптимізовано умови отримання наночастинок сульфіду кадмію в термотропному іонному рідкокристалічному "нанореакторі" на основі алканоатів кадмію в залежності від довжини ланцюга алканоат-аніону, часу і середовища проведення реакції та способу введення сульфід-йонів (тіосечовини) в "нанореактор". Проведення синтезу в "нанореакторах" алканоатів кадмію з різною довжиною аліфатичного ланцюга показало, що використання алканоатів кадмію з меншою довжиною ланцюга (капронат і каприлат) сприяє формуванню наночастинок сульфіду кадмію з більш рівномірним розподілом за розміром (~ 1.8 нм) та за об'ємом "нанореактора". Встановлено, що збільшення часу проведення реакції (від 10 хв до 1 год) не впливає на розмір наночастинок сульфіду кадмію, але приводить до зростання їх концентрації в мезофазі; встановлено, що оптимальним часом реакції компонентів у "нанореакторі" є 30 хв при оптимальній концентрації сульфід-йонів приблизно 4 % мол. Виявлено, що розмір отримуваних наночастинок становить близько 1.9 нм.

РЕЗЮМЕ. Изучены и оптимизированы условия синтеза наночастиц сульфида кадмия в ионных жидкокристаллических матрицах алканоатов кадмия в зависимости от длины цепи алканоат-аниона, среды, времени протекания реакции и способа введения тиомочевины (сульфид-ионов) в "нанореактор". Методом электронной спектроскопии оценен размер полученных наночастиц сульфида кадмия.

SUMMARY. Conditions of synthesis of the CdS semiconductor nanoparticles in matrix of ionic liquid crystal depending on length of alkanoate-anion chain, kind of injection S^{2-} (tiourea) into "nanoreactor", reaction time and medium have been improved. Size of CdS nanoparticles have been estimated by electron spectroscopy.

1. *Trindade Tito, O'Brien Paul, Pickett Nigel L.* // Chem. Mater. -2001. -**13**, № 11. -P. 3843.
2. *Barglik-Chory Ch., Buchold D., Schmitt M. et al.* // Chem. Phys. Lett. -2003. -**379**. -P. 443.
3. *Torsten Hegmann, Hao Qi, Marx Vanessa M.* // J. Inorg. and Organometallic Polymers and Materials. -2007. -**17**, № 3. -P. 483.
4. *Braun Paul V., Stupp Samuel I.* // Materials Res. Bulletin. -1999. -**34**, № 3. -P. 463.

5. *Garcia M.M., Villavicencio H., Hernandez-Velez M. et al.* // Material Science and Engineering C. -2001. -**15**. -P. 101.
6. *Suwei Yao, Yuxin Han, Weixing Liu et al.* // Material Chem. and Phys. -2007. -**101**. -P. 247.
7. *Мирна Т.А., Асаула В.М., Яремчук Г.Г. та ін.* // Укр. хим. журн. -2009. -**75**, № 5. -С. 3—6.
8. *Денисюк І.Ю., Мешков А.М.* // Опт. журн. -2001. -**68**, № 11. -С. 58—66.
9. *Трахтенберг Л.И., Герасимов Г.Н., Григорьев Е.И.* // Журн. физ. химии. -1999. -**73**, № 2. -С. 264—276.
10. *Швалагин В.В., Раевская А.Е., Строюк А.Л., Кучмий С.Я.* // Теорет. и эксперимент. химия. -2007. -**43**, № 3. -С. 170—175.
11. *Vossmeyer T., Kotsikas L., Popovic I.G. et al.* // J. Phys. Chem. -1994. -**98**. -P. 7665.

Надійшла 04.12.2009

Інститут загальної та неорганічної хімії
ім. В.І.Вернадського НАН України, Київ